

УПРОЩЕННЫЙ МЕТОД РАСЧЕТА СВОБОДНОЙ КОНВЕКЦИИ ТЕПЛО ВЫДЕЛЯЮЩЕЙ ЖИДКОСТИ В ОСЕСИММЕТРИЧНОМ ЗАМКНУТОМ ОБЪЕМЕ

АННОТАЦИЯ

Предложен упрощенный метод расчета и на его основе численно решена задача о ламинарной свободной конвекции тепло выделяющей жидкости в цилиндрическом и полусферическом объемах с изотермической боковой (в случае полусферы нижней) и адиабатической верхней границами. На основе полученных результатов исследовано влияние стратификации температуры в объеме и геометрии на характеристики теплоотдачи. Установлено, что пренебрежение температурной стратификацией приводит к существенному завышению плотности потока тепла к границе в нижней части объема.

1. ВВЕДЕНИЕ

Решение полной системы уравнений, описывающих конвективное течение жидкости с внутренними источниками тепла, требует немалых временных и вычислительных затрат. В то же время для оценки последствий тяжелой аварии на АЭС с расплавлением активной зоны необходимо оценить распределение теплоотдачи расплава к корпусу реактора в минимальные сроки. Для этого в реакторных кодах используют различные упрощенные модели [1, 2]. В настоящей работе построена физическая модель и разработан алгоритм решения свободноконвективной теплоотдачи однокомпонентной энерговыделяющей жидкости в замкнутом объеме. Среда считалась однородной, несжимаемой, изотропной с постоянными теплофизическими свойствами, с положительным температурным коэффициентом расширения, а режим течения — ламинарным. Численно решена задача о конвекции в цилиндрическом и полусферическом объемах в диапазоне модифицированных чисел Рэлея $10^6 \leq Ra_I \leq 10^{12}$.

2. ПОСТАНОВКА ЗАДАЧИ

Рассмотрим стационарную свободную конвекцию тепло выделяющей жидкости в осесимметричном объеме с изотермической боковой (нижней в случае полусферы) границей. Как показывают эксперименты, теоретический анализ и численные расчеты [3—6], объем можно разделить на три области течения.

- Область конвекции Рэлея — Бенара.
- Область пограничных слоев.
- Область устойчивой температурной стратификации.

Благодаря этому задачу о распределении потока тепла к границе замкнутого объема можно упро-

стить. Ограничимся рассмотрением случая, когда верхняя горизонтальная граница объема теплоизолирована. Тогда из-за стратификации температуры в основном объеме её максимум T_{\max} достигается на верхней границе и режим конвекции Рэлея — Бенара не реализуется. Таким образом, будем считать, что весь занимаемый жидкостью объем состоит из тонких пограничных слоев (ПС) и области температурной стратификации (основного объема) (см. рис. 1).

3. УРАВНЕНИЯ ДВИЖЕНИЯ

Для описания стационарного течения жидкости в ПС на вертикальной границе воспользуемся приближением Прандтля [7]. Поскольку толщина ПС много меньше характерного поперечного размера объема R ($\delta \ll R$), энерговыделением в правой части уравнения энергии можно пренебречь [4], и система принимает следующий вид:

цилиндр:

$$\frac{\partial u}{\partial z} + \frac{\partial v}{\partial y} = 0; \quad (1a)$$

$$u \frac{\partial u}{\partial z} + v \frac{\partial u}{\partial y} - \nu \frac{\partial^2 u}{\partial y^2} = g\alpha(T - T_b(z)); \quad (2a)$$

$$u \frac{\partial T}{\partial z} + v \frac{\partial T}{\partial y} = \chi \frac{\partial^2 T}{\partial y^2} + \frac{Q}{\rho c_p}; \quad (3a)$$

полусфера:

$$\frac{1}{R \sin(\theta)} \frac{\partial}{\partial \theta} (\sin(\theta)u) + \frac{\partial v}{\partial y} = 0; \quad (1b)$$

$$u \frac{\partial u}{\partial \theta} + v \frac{\partial u}{\partial y} - \nu \frac{\partial^2 u}{\partial y^2} = g\beta(T - T_b(z)) \sin(\theta); \quad (2b)$$

$$u \frac{\partial T}{\partial \theta} + v \frac{\partial T}{\partial y} = \chi \frac{\partial^2 T}{\partial y^2}, \quad (3b)$$

где u и v — продольная и поперечная компоненты скорости течения; z — вертикальная координата, отсчитанная от дна объема; y — поперечная координата, отсчитанная от боковой (в случае полусферы нижней) границы; g — ускорение свободного падения; β — температурный коэффициент объемного расширения; Q — плотность мощности внутренних источников тепла; ν — кинематическая вязкость; χ — температуропроводность; ρ — плотность; c_p — удельная теплоемкость, $T \equiv T(z, y)$ (в случае полусферы $T \equiv T(\theta, y)$) — температура жидкости в текущей точке (z, y) (для полусферы (θ, y)) слоя, $T_b(z)$ — температура в основном объеме.

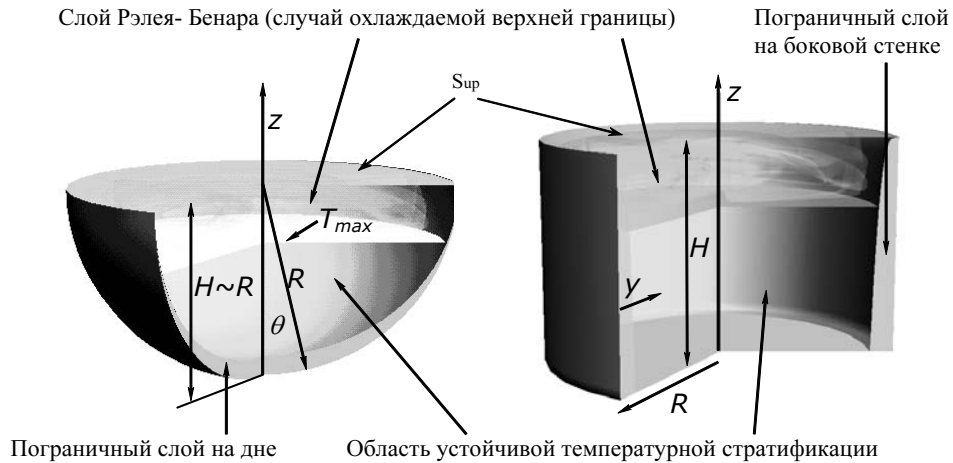


Рис. 1. Геометрия задачи

Граничные условия к системе (1)—(3) имеют вид:

$$\begin{aligned} y=0: u, v, T-T_0 &= 0; \\ y \gg \delta: u \rightarrow U(z), T-T_b(z) &\rightarrow 0, \end{aligned} \quad (4)$$

где $U(z)$ — вертикальная компонента скорости в основном объеме. Температура изотермической части границы T_0 принята за начало отсчета температур.

Благодаря устойчивой температурной стратификации (температура не зависит от горизонтальных координат, и $dT_b/dz > 0$), уравнение баланса энергии в основном объеме имеет вид [4]:

$$U(z) \frac{dT_b(z)}{dz} = \frac{Q}{\rho c_p}. \quad (5)$$

Из условия баланса массы следует, что её поток через любое сечение объема с жидкостью равен нулю. Отсюда находим соотношение для вертикальной компоненты скорости, связывающее ее с соответствующей компонентой скорости в пограничном слое:

цилиндр:

$$U(z) \cong -\frac{2}{R} \int_0^{\Delta} dy u(z, y); \quad (6a)$$

полусфера:

$$U(z) \cong -\frac{2}{R \sin(\theta)} \int_0^{\Delta} dy u(\theta, y). \quad (6.b)$$

Значение верхнего предела в интеграле здесь выбирается в соответствии с неравенством: $\delta \ll \Delta \ll R$.

Так как температура в основном объеме является возрастающей функцией высоты, то в относительной близости к дну её значение является малым в сравнении со средним значением по всему объему. Кроме того, как показывают эксперименты и теоретические оценки [4], толщина ПС на дне объема гораздо больше, чем на боковой границе. На этом

основании мы пренебрежем теплоотдачей в дно. В результате при $z \rightarrow 0$, подобно (6a, 6b), из условия энергетического баланса вытекает соотношение, связывающее температуру в пограничном слое и в основном объеме:

цилиндр:

$$U(0)T_b(0) \cong -\frac{2}{R} \int_0^{\Delta} dy u(0, y)T(0, y); \quad (7a)$$

полусфера:

$$U(0)T_b(0) \cong -\frac{2}{R \sin(\theta_0)} \int_0^{\Delta} dy u(0, y)T(0, y), \quad (7b)$$

где θ_0 выбирается меньшим или порядка $\arccos(1 - \frac{\Delta}{R})$ в предположении однородности распределения теплового потока вблизи полюса [4].

4. ОБСУЖДЕНИЕ РЕЗУЛЬТАТОВ

Расчет уравнений (1)—(7) проводился на равномерной сетке. Поперечный размер области Δ выбирался так, чтобы пограничный слой полностью содержался внутри расчетной области ($\delta < \Delta$) и выполнялось неравенство $\Delta \ll R$. В настоящей работе все результаты получены для $\Delta = 4\delta$, где δ определено согласно аналитической оценке [4]:

$$\delta = H Ra_I^{-1/5}, \quad (8)$$

где H — вертикальный линейный масштаб объема.

Помимо поперечного размера расчетной области независимыми параметрами задачи являются модифицированное число Рэлея Ra_I , число Прандтля Pr и аспектное отношение R/H . Влияние последних двух в работе не исследовалось, и во всех численных экспериментах они предполагались равными единице ($Pr = 1, R/H = 1$). Таким образом, с учетом соотношения (8) единственным независимым параметром задачи является модифицированное число Рэлея Ra_I .

Безразмерные характеристики свободной конвекции в цилиндре и в полусфере представлены на рис. 2 и 3. Интерполяция численных результатов для среднего числа Нуссельта через боковую (в случае полусферы нижнюю) границу привела к следующим корреляциям:

цилиндр:

$$Nu_{sd} = 0.45 Ra_I^{0.19}, \quad 10^6 \leq Ra_I \leq 10^{12}; \quad (9a)$$

полусфера:

$$Nu_{dn} = 0.44 Ra_I^{0.18}, \quad 10^7 \leq Ra_I \leq 10^{12}. \quad (9b)$$

Результаты расчета качественно согласуются с экспериментальными данными [3, 5]. Существующее расхождение в среднем числе Нуссельта (см. таблицы 1, 2) объясняется различием в числе Прандтля, в мощности энерговыделения и аспектном отношении ($R/H = 1/3$ в работе [5]). Сравнение с результатом прямого численного моделирования, проведенного с использованием программного пакета FLUENT, не обнаружило существенных расхождений (см. рис. 3), особенно при высоких числах Рэлея. Имеющееся отличие объясняется пренебрежением отвода тепла в дно в предложенной модели (см. (7)).

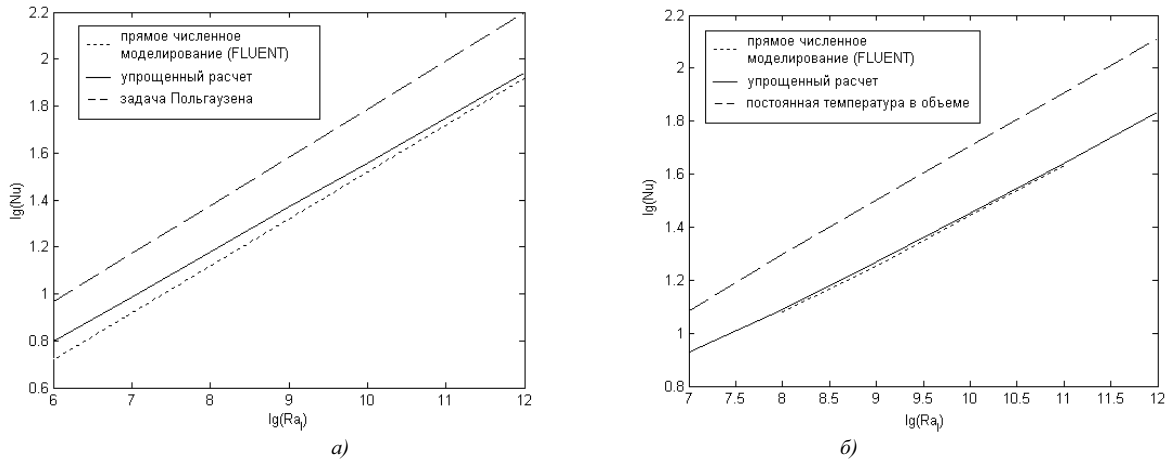


Рис. 2. Интегральный поток тепла (а — цилиндр, б — полусфера)

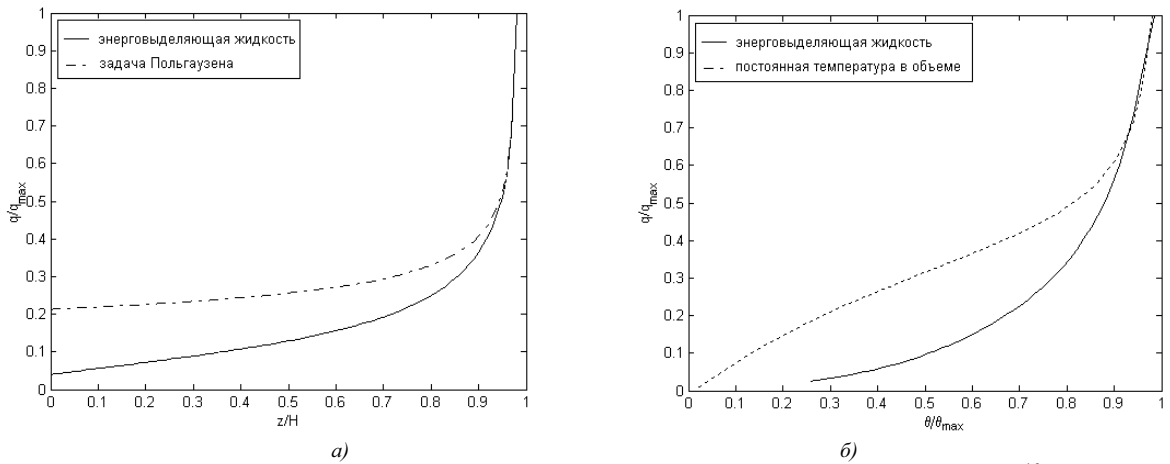


Рис. 3. Плотность теплового потока к границе (а — цилиндр, б — полусфера, $Ra_I = 10^{10}$)

Таблица 1. Среднее число Нуссельта на боковой (sd) границе (цилиндр)

| | |
|------------------------|--|
| Упрощенный расчет | $Nu_{sd} = 0.45 Ra_I^{0.19}, \quad 10^6 \leq Ra_I \leq 10^{12}, \quad Pr = 1$ |
| Задача Польшаузена | $Nu_{sd} = 0.55 Ra_I^{0.21}, \quad 10^6 \leq Ra_I \leq 10^{12}, \quad Pr = 1$ |
| Расчет Хольцбехера [0] | $Nu_{sd} = 0.66 Ra_I^{0.2}, \quad 3 \times 10^{10} \leq Ra_I \leq 10^{13}, \quad Pr \approx 7$ |
| FLUENT | $Nu_{sd} = 0.33 Ra_I^{0.2}, \quad 10^6 \leq Ra_I \leq 10^{12}, \quad Pr = 1$ |

Таблица 2. Среднее число Нуссельта на нижней (dn) границе (результаты расчетов, полусфера)

| | |
|---------------------------------|--|
| Упрощенный расчет | $Nu_{dn} = 0.44 Ra_I^{0.18}, \quad 10^7 \leq Ra_I \leq 10^{12}, \quad Pr = 1$ |
| Постоянная температура в объеме | $Nu_{dn} = 0.46 Ra_I^{0.2}, \quad 10^7 \leq Ra_I \leq 10^{12}, \quad Pr = 1$ |
| Эксперимент Маингера [0] | $Nu_{dn} = 0.54 Ra_I^{0.18}, \quad 10^7 \leq Ra_I \leq 5 \times 10^{10}, \quad Pr \approx 7$ |
| FLUENT | $Nu_{dn} = 0.39 Ra_I^{0.19}, \quad 10^8 \leq Ra_I \leq 10^{11}, \quad Pr = 1$ |

В ряде инженерных приложений [8] при расчете конвективных течений в замкнутых полостях пренебрегают стратификацией температуры в основном объеме. Корреляция (9а) отличается от зависимости числа Нуссельта для конвекции нетепловыделяющей жидкости с постоянной температурой в основном объеме

$$\text{Nu}_{sd} = 0.55\text{Ra}_I^{0.21}, \quad (10)$$

полученной из решения задачи Польгаузена о конвекции у вертикальной полубесконечной пластины [9]:

$$\text{Nu}_{sd} = 0.54\text{Ra}_I^{1/4}. \quad (11)$$

Представленные на рис. 2 и 3 графики распределения среднего числа Нуссельта и теплового потока вдоль боковой (для полусферы нижней) поверхности показывают существенное различие между конвекцией тепловыделяющей жидкости и жидкости без внутренних источников тепла с постоянной температурой вдали от твердых границ. Особенно это касается нижней части объема, где возрастает влияние стратификации температуры в основном объеме на структуру пограничного слоя. В этой области значения плотностей теплового потока в случае энергосыделяющей жидкости и жидкости без внутренних источников тепла с постоянной температурой в основном объеме различаются в 7 раз.

ЗАКЛЮЧЕНИЕ

В настоящей работе построена физическая модель и разработан численный алгоритм решения свободноконвективной теплоотдачи энергосыделяющей жидкости в замкнутом объеме. Численно решена задача о ламинарном течении в цилиндрическом и полусферическом объемах с изотермическим условием на боковой (в случае полусферы нижней) границе в диапазоне модифицированных чисел Рэлея $10^6 \leq \text{Ra}_I \leq 10^{12}$. По результатам расчета получена зависимость среднего безразмерного

потока тепла (числа Нуссельта) к боковой (в случае полусферы нижней) границе от модифицированного числа Рэлея. Найденные распределения скоростей и температуры в пограничном слое на боковой границе по своей структуре соответствуют результатам экспериментов и численных расчетов. Изучено влияние стратификации температуры в основном объеме на характеристики теплоотдачи. Оказалось, что пренебрежение стратификацией при вычислении интегрального распределения плотности теплового потока к границе может приводить к завышению более чем в два раза, а в случае локального распределения к завышению в 7 раз.

СПИСОК ЛИТЕРАТУРЫ

1. **ГЕФЕСТ**: Численное моделирование процессов в нижней части реактора ВВЭР при тяжелой аварии / А.С. Игнатъев, А.Е. Киселев, А.С. Филиппов и др. // Препринт ИБРАЭ № ИБРАЭ-2003-13. М., 2003.
2. **ГЕФЕСТ**: Модели теплообмена с паром и перемещения материалов в НКС реактора ВВЭР при тяжелой аварии / А.Е. Киселев, В.Н. Семенов, А.С. Филиппов и др. // Препринт ИБРАЭ № ИБРАЭ-2003-14. М., 2003.
3. **Technical report FT-FB (RS 166-79-05)** / F.X. Mayinger, P. Fritz, H.H. Reineke et al. // BMFT. 1980.
4. **Большов Л.А., Кондратенко П.С., Стрижов В.Ф.** Свободная конвекция тепловыделяющей жидкости // УФН. 2001. Т. 171. № 10. С. 1051—1070.
5. **Holzbecher M., Steiff A.** Laminar and turbulent free convection in vertical cylinders with internal heat generation// Int. J. of Heat and Mass Transfer. 1995. Vol. 38. No. 15. P. 2893 — 2903.
6. **Numerical study of natural convection of a heat — generating fluid in nuclear reactor safety problem** / L.A. Bolshov, R.V. Arutyunyan, V.V. Chudanov et al. // Nuclear Science Journal. 1995. Vol. 32. No. 2. P. 134 — 139.
7. **Ландау Л.Д., Лифшиц Е.М.** Гидродинамика. М.: Наука, 1986.
8. **Poletaev G.N.** Heat transfer from curvilinear boundaries of heat-generating pools // Proc. of the NURETH-11. 2005.
9. **Геххарт Б. и др.** Свободноконвективные течения, тепло- и массообмен. М.: Мир, 1991.